

## Объемные нелинейные упругие волны деформации в двуслойном коаксиальном цилиндрическом стержне

© И.А. Гула, А.М. Самсонов<sup>¶</sup>

Физико-технический институт им. А.Ф. Иоффе РАН,  
194021 Санкт-Петербург, Россия  
<sup>¶</sup> e-mail: samsonov@math.ioffe.ru

(Поступило в Редакцию 7 апреля 2017 г.)

Рассмотрена задача о распространении нелинейно-упругих длинных продольных волн деформации в двуслойном коаксиальном цилиндрическом стержне с идеальным контактом между слоями. Получены выражения для поперечных перемещений через продольные и удовлетворяющие с заданной точностью условию свободной границы и условию непрерывности перемещений и напряжений на поверхности раздела слоев. Показано, как выражения обобщают известные гипотезу плоских сечений и гипотезу Лява для изотропного однородного стержня. Выведено уравнение распространения продольной волны нелинейно-упругой деформации и исследовано его частное решение в виде уединенной бегущей волны.

DOI: 10.21883/JTF.2017.12.45198.2295

### Введение

Композитные материалы (композиты) широко используются в современной промышленности. При их исследовании в отдельный класс часто выделяют многокомпонентные материалы, которые состоят из разных однородных изотропных слоев — слоистые композиты. Изучение динамики поведения таких композитов и выявление их механических повреждений являются важными задачами, одним из перспективных методов решения которых являются неразрушающие испытания. Они позволяют контролировать целостность образцов и выявлять повреждения, основываясь на эволюции распространяющихся волн деформации, а с другой стороны, изучать физические свойства материала волновода по параметрам этих волн. Особый интерес представляют нелинейные продольные волны деформации, затухание которых очень мало по сравнению с линейными продольными волнами, причем даже в полимерах, обладающих сильной диссипацией, см. [1]. Однако теоретические исследования распространения волн деформации в слоистых композитных волноводах пока недостаточно развиты, в частности, только недавно было показано, что в слоистых композитах, состоящих из конечного числа плоских слоев, могут распространяться объемные нелинейные волны деформации, см., например, [2–5]. Как теоретически, так и экспериментально интенсивно исследуются задачи распространения объемных нелинейных волн в плоских деляминированных волноводах [3,6,7]

Линейная задача о распространении продольных волн в двуслойном упругом стержне была рассмотрена в [8], очевидно, физическая нелинейность материалов и геометрическая нелинейность деформации не были учтены. Авторы использовали метод асимптотических разложений [9], сведя задачу к последовательности классических волновых уравнений.

Модель распространения нелинейных упругих волн в изотропном цилиндрическом стержне в виде уравнения с двумя дисперсиями (УДД) и ее уточнения были предложены в 80-х годах; изложению этого подхода посвящены книга [10] и цитированная там литература. Недавно в [11] была рассмотрена задача о распространении нелинейных волн деформации вдоль пластины, состоящей из периодического двухкомпонентного композита с бесконечным числом плоских слоев, причем заданная периодичность позволила свести исходную двумерную задачу к единственному одномерному нелинейному уравнению для продольных волн деформации.

Задача становится гораздо сложнее, если число нелинейно упругих слоев в композите невелико, слои не плоские, и периодичность отсутствует. Целью настоящей работы является разработка модели распространения длинных нелинейных продольных упругих волн деформации в двуслойном коаксиальном стержне с круглым сечением, которая имеет большое практическое значение. Получены асимптотически точные выражения поперечных перемещений через продольные, позволяющие удовлетворить условию свободной от нагружения внешней границы стержня и обеспечить непрерывность перемещений и напряжений на границе раздела слоев. Это позволило свести задачу к одномерному нелинейному уравнению относительно единственной неизвестной функции и получить решение в виде объемной нелинейной уединенной волны (солитона) деформации. Параметры этой волны приведены в размерном виде, пригодном для расчетов в реальном физическом эксперименте.

### 1. Вывод уравнений модели

Рассмотрим стержень с круглым сечением, состоящий из двух различных коаксиальных слоев. Введем

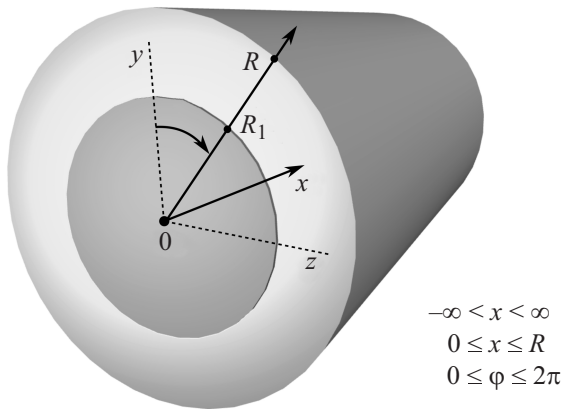


Рис. 1. Двуслойный коаксиальный стержень с круглым сечением.

цилиндрическую систему координат с началом в центре одного из торцов стержня, ось  $Ox$  направим вдоль продольной оси стержня, ось  $Or$  — по радиальному направлению. Пусть длина стержня велика по сравнению с радиусом его внешнего слоя, равным  $R$ , а радиус внутреннего слоя равен  $R_1 < R$  (рис. 1). Допустим, что кручение стержня отсутствует, и задача обладает осевой симметрией, тогда введем вектор перемещений  $\mathbf{U}(x, r, t) = U(x, r, t)\mathbf{i} + V(x, r, t)\mathbf{j}$ , где символом  $t$  обозначена временная переменная.

Функции перемещений и компоненты тензора напряжений  $\mathbf{P}$  в слоях будем обозначать верхним индексом в скобках:  $U^{(i)}(x, r, t)$ ,  $P_{rr}^{(i)}(x, r, t)$ , а константы упругости — нижним индексом:  $\lambda_i$ ,  $\mu_i$  и т.п.

Тензор конечных деформаций Коши–Грина [10] имеет вид

$$\mathbf{C} = \frac{1}{2} \begin{bmatrix} 2\partial_x U + (\partial_x U)^2 & \partial_r U + \partial_x U \partial_r U + \partial_x V \partial_r V & 0 \\ \partial_r U + \partial_x V + \partial_x U \partial_r U & 2\partial_r V + (\partial_r U)^2 + (\partial_r V)^2 & 0 \\ 0 & 0 & 2V/r + V^2/r^2 \end{bmatrix}. \quad (1)$$

Для функции плотности потенциальной энергии каждого из материалов слоев примем модель нелинейно упругого материала Мурнагана [12]:

$$\Pi = \frac{\lambda + 2\mu}{2} (I_1(\mathbf{C}))^2 - 2\mu I_2(\mathbf{C}) + \frac{l + 2m}{3} (I_1(\mathbf{C}))^3 - 2m I_1(\mathbf{C}) I_2(\mathbf{C}) + n I_3(\mathbf{C}), \quad (2)$$

где  $\lambda$ ,  $\mu$  — постоянные Лямэ,  $l$ ,  $m$ ,  $n$  — модули Мурнагана,  $I_1$ ,  $I_2$ ,  $I_3$  — инварианты тензора деформаций  $\mathbf{C}$ .

При нелинейных деформациях результат приложения сил (напряжений) зависит от пути деформирования, поэтому при постановке задачи в отсчетных координатах (до деформирования) используется тензор Пиолы–Кирхгоффа  $\mathbf{P} = \partial \Pi / \partial \mathbf{C} (\mathbf{E} + \nabla \mathbf{U})$ , определенный в отсчетной конфигурации. Запишем его компоненты  $P_{rr}$ ,  $P_{rx}$  до слагаемых второго порядка по степеням компо-

нент тензора  $\nabla \mathbf{U}$  включительно:

$$\begin{aligned} P_{rr} = & \lambda \partial_x U + \lambda \frac{V}{r} + (\lambda + 2\mu) \partial_r V + \frac{\lambda + 2l}{2} \frac{V^2}{r^2} \\ & + \frac{\lambda + 2\mu + m}{2} (\partial_r U)^2 + (2l - 2m + n) \partial_x U \frac{V}{r} \\ & + \frac{\lambda + 2l}{2} (\partial_x U)^2 + (\lambda + 2l) \frac{V}{r} \partial_r V \\ & + (\lambda + 2l) \partial_x U \partial_r V + \frac{3\lambda + 6\mu + 2l + 4m}{2} (\partial_r V)^2 \\ & + (\mu + m) \partial_r U \partial_x V + \frac{\lambda + 2\mu + m}{2} (\partial_x V)^2, \end{aligned} \quad (3)$$

$$\begin{aligned} P_{rx} = & \mu \partial_r U + \mu \partial_x V + \frac{2\lambda + 2m - n}{2} \partial_r U \frac{V}{r} \\ & + (\lambda + 2\mu + m) \partial_x U \partial_r U + (\lambda + 2\mu + m) \partial_r U \partial_r V \\ & + \frac{2m - n}{2} \frac{V}{r} \partial_x V + (\mu + m) \partial_x U \partial_x V + (\mu + m) \partial_x V \partial_r V. \end{aligned} \quad (4)$$

Введем масштабы для  $x$ ,  $r$  и  $t$  в виде  $\Lambda$ ,  $R$  и  $\Lambda/c_0$  соответственно, где  $\Lambda$  — характерная длина продольных волн в стержне,  $c_0$  — характерная скорость распространения линейных волн, вообще говоря, отличная от „стержневой“ скорости. Положим, что масштабы компонент деформаций  $U_x$  и  $V_r$  одинаковы и равны  $A$ , тогда масштабы для перемещений  $U$  и  $V$  можно записать соответственно в виде  $\Lambda A$  и  $RA$ . Введем безразмерные переменные  $x' = x/\Lambda$ ,  $r' = r/R$ ,  $t' = t\Lambda/c_0$ , безразмерные функции  $U' = U/(\Lambda A)$ ,  $V' = V/(RA)$  и безразмерный радиус внутреннего стержня  $\alpha = R_1/R$ . Положим, что деформации малы,  $A \ll 1$ , будем рассматривать длинные продольные волны,  $R/\Lambda \ll 1$ , и по аналогии с [10] постулируем соотношение  $A = R^2/\Lambda^2$ , после чего можно ввести малый параметр  $\varepsilon^2 = A = R^2/\Lambda^2$ .

Запишем компоненты  $P_{rr}$ ,  $P_{rx}$  тензора Пиолы–Кирхгоффа в безразмерных переменных и соберем слагаемые при одинаковых степенях малого параметра (штрихи опущены):

$$\begin{aligned} P_{rr} = & \varepsilon^2 \left( \lambda \partial_x U + \lambda \frac{V}{r} + (\lambda + 2\mu) \partial_r V + \frac{\lambda + 2\mu + m}{2} (\partial_r U)^2 \right) \\ & + \varepsilon^4 \left( \frac{\lambda + 2l}{2} \frac{V^2}{r^2} + (2l - 2m + n) \partial_x U \frac{V}{r} + \frac{\lambda + 2l}{2} (\partial_x U)^2 \right. \\ & + (\lambda + 2l) \frac{V}{r} \partial_r V + (\lambda + 2l) \partial_x U \partial_r V \\ & \left. + \frac{3\lambda + 6\mu + 2l + 4m}{2} (\partial_r V)^2 + (\mu + m) \partial_r U \partial_x V \right) \\ & + \varepsilon^6 \frac{\lambda + 2\mu + m}{2} (\partial_x V)^2, \end{aligned} \quad (5)$$

$$\begin{aligned}
 P_{rx} &= \varepsilon \mu \partial_r U \\
 &+ \varepsilon^3 \left( \mu \partial_x V + \frac{2\lambda + 2m - n}{2} \partial_r U \frac{V}{r} \right. \\
 &+ (\lambda + 2\mu + m) \partial_x U \partial_r U + (\lambda + 2\mu + m) \partial_r U \partial_r V \left. \right) \\
 &+ \varepsilon^5 \left( \frac{2m - n}{2} \frac{V}{r} \partial_x V + (\mu + m) \partial_x U \partial_x V + (\mu + m) \partial_x V \partial_r V \right). \tag{6}
 \end{aligned}$$

Теперь разложим функции перемещений в ряд по четным степеням малого параметра  $\varepsilon$ :

$$U(x, r, t) = U_0(x, r, t) + \varepsilon^2 U_2(x, r, t) + \dots, \tag{7}$$

$$V(x, r, t) = V_0(x, r, t) + \varepsilon^2 V_2(x, r, t) + \dots, \tag{8}$$

и убедимся в том, что разложения (7), (8) сохраняют вид разложений  $P_{rr}$ ,  $P_{rx}$  в ряды по  $\varepsilon$  и не добавляют новых слагаемых

$$P_{rr}(x, r, t) = \varepsilon^2 P_{2,rr}(x, r, t) + \varepsilon^4 P_{4,rr}(x, r, t) + \dots, \tag{9}$$

$$P_{rx}(x, r, t) = \varepsilon P_{1,rx}(x, r, t) + \varepsilon^3 P_{3,rx}(x, r, t) + \dots \tag{10}$$

Подставляя (7–10) в (5), (6) и собирая слагаемые при соответствующих степенях малого параметра, в главном порядке по  $\varepsilon$  в  $P_{rx}$  (здесь и далее будут использоваться индексы, соответствующие слоям стержня) имеем

$$P_{1,rx}^{(i)} = \mu \partial_r U_0^{(i)}, \tag{11}$$

Функции  $U_0^{(i)}$  будем искать в таком виде, чтобы выполнялись условия

$$U_0^{(1)}|_{r=\alpha} = U_0^{(2)}|_{r=\alpha}, \quad P_{1,rx}^{(1)}|_{r=\alpha} = P_{1,rx}^{(2)}|_{r=\alpha}, \quad P_{1,rx}^{(2)}|_{r=1} = 0,$$

откуда получаем  $U_0^{(1)} = U_0^{(2)} = F(x, t)$ . Таким образом, доказано, что в задаче о двуслойном стержне, как и в задаче об изотропном стержне [10], гипотезы плоских сечений достаточно для того, чтобы занулить касательные напряжения на внешней границе стержня в главном порядке  $\varepsilon$ . Кроме того, удовлетворены условия непрерывности перемещений и напряжений на поверхности раздела слоев. Аналогичные выражения для  $U_0^{(i)}$  были получены при рассмотрении линейной задачи о двуслойном цилиндрическом стержне [8].

Учитывая выражения для  $U_0^{(i)}$ , имеем для  $P_{2,rr}^{(i)}$ :

$$P_{2,rr}^{(i)} = \lambda_i \frac{V_0^{(i)}}{r} + \lambda_i \partial_x F + (\lambda_i + 2\mu_i) \partial_r V_0^{(i)}.$$

Для нахождения  $V_0^{(i)}$  удовлетворяем условия

$$V_0^{(1)}|_{r=\alpha} = V_0^{(2)}|_{r=\alpha}, \quad P_{2,rr}^{(1)}|_{r=\alpha} = P_{2,rr}^{(2)}|_{r=\alpha}, \quad P_{2,rr}^{(2)}|_{r=1} = 0,$$

откуда находим

$$V_0^{(1)} = -\frac{a_0}{d_0} r \partial_x F, \quad V_0^{(2)} = -\left( \frac{a_0 - \sigma_0}{d_0} r + \frac{\sigma_0}{d_0} \frac{\alpha^2}{r} \right) \partial_x F, \tag{12}$$

где

$$a_0 = \frac{1}{2} \left( \frac{\lambda_1}{\lambda_2} \left( \frac{\lambda_2}{\mu_2} + \alpha^2 \right) + \frac{\lambda_1}{\lambda_2} + (1 - \alpha^2) \right),$$

$$d_0 = 2a_0 + \frac{\mu_1}{\mu_2} + \frac{(1 - \alpha^2)\mu_1 + (1 - \alpha^2)\mu_2}{\lambda_2},$$

$$\sigma_0 = \frac{1}{2} \left( \frac{\lambda_1}{\lambda_2} - \frac{\mu_1}{\mu_2} \right).$$

Аналогичный результат был получен для перемещений  $V_0^{(i)}$  в линейной задаче [8]. В выражении для  $V_0^{(2)}$  присутствует слагаемое, сингулярное по  $r$  при  $r \rightarrow 0$ , однако выражение для  $V_0^{(2)}$  справедливо лишь для  $r \in (a; 1]$ , вследствие чего сингулярность не возникает.

С учетом найденных  $U_0^{(i)}$  и  $V_0^{(i)}$  имеем для  $P_{3,rx}^{(i)}$ :

$$P_{3,rx}^{(1)} = \mu_1 \partial_r U_2^{(1)} - \frac{\mu_1 a_0}{d_0} r \partial_{xx} F,$$

$$P_{2,rx}^{(2)} = \mu_2 \partial_r U_2^{(2)} - \left( \frac{a_0 - \sigma_0}{d_0} r + \frac{\sigma_0}{d_0} \frac{\alpha^2}{r} \right) \mu_2 \partial_{xx} F.$$

Функции  $U_2^{(i)}$  теперь должны удовлетворять условиям

$$U_2^{(1)}|_{r=\alpha} = U_2^{(2)}|_{r=\alpha}, \quad P_{3,rx}^{(1)}|_{r=\alpha} = P_{3,rx}^{(2)}|_{r=\alpha}, \quad P_{3,rx}^{(2)}|_{r=1} = 0,$$

откуда находим выражения

$$U_2^{(1)} = a_1 \frac{r^2}{2} \partial_{xx} F,$$

$$U_2^{(2)} = \left( a_1 - \sigma_1 \frac{2 \ln \alpha}{\alpha^2} \right) \frac{r^2}{2} \partial_{xx} F + \sigma_1 \ln r \partial_{xx} F, \tag{13}$$

где введены коэффициенты

$$\alpha = \frac{a_0}{d_0} - \frac{\sigma_0}{d_0} \frac{(1 - \alpha^2)(1 - 2 \ln \alpha)}{(\alpha^2 - 2 \ln \alpha) \frac{\mu_1}{\mu_2} + (1 - \alpha^2)},$$

$$\sigma_1 = \frac{\sigma_0}{d_0} \frac{\alpha^2(1 - \alpha^2) \left( 1 - \frac{\mu_1}{\mu_2} \right)}{(\alpha^2 - 2 \ln \alpha) \frac{\mu_1}{\mu_2} + (1 - \alpha^2)}.$$

Учитывая выражения для  $U_0^{(i)}$ ,  $V_0^{(i)}$ , для  $P_{4,rr}^{(i)}$  получим

$$\begin{aligned}
 P_{4,rr}^{(1)} &= 2\mu_1 \partial_r V_2^{(1)} + \lambda_1 \left( \frac{V_2^{(1)}}{r} + \partial_r V_2^{(1)} \right) + \lambda_1 a_1 \frac{r^2}{2} \partial_{xxx} F \\
 &+ \left( \frac{\lambda_1 + 2\mu_1}{2} - \frac{a_0}{d_0} (4l_1 - 2m_1 + n_1 + \lambda_1) \right. \\
 &+ \left. \frac{a_0^2}{d_0^2} (4l_1 + 2m_1 + 3(\lambda_1 + \mu_1)) \right) (\partial_x F)^2,
 \end{aligned}$$

$$\begin{aligned}
 P_{4,rr}^{(1)} = & 2\mu_2\partial_r V_2^{(2)} + \lambda_2 \left( \frac{V_2^{(2)}}{r} + \partial_r V_2^{(2)} \right) \\
 & + \lambda_2 \left( a_1 \frac{r^2}{2} + \sigma_1 \left( \ln r - \frac{r^2}{\alpha^2} \ln \alpha \right) \right) \partial_{xxx} F \\
 & + \left( \frac{\lambda_2 + 2l_2}{2} - \frac{a_0}{d_0} (4l_2 - 2m_2 + n_2 + \lambda_2) \right. \\
 & + \frac{a_0^2}{d_0^2} (4l_2 + 2m_2 + 3(\lambda_2 + \mu_2)) \\
 & + \frac{\sigma_0}{d_0} \left( 4l_2 - \left( 1 - \frac{\alpha^2}{r^2} \right) (2m_2 - n_2) + \left( 1 + \frac{\alpha^2}{r^2} \right) \lambda_2 \right) \\
 & + \frac{\sigma_0^2}{d_0^2} \left( 2\lambda_2 + 4l_2 + \left( 1 + \frac{\alpha^2}{r^2} \right)^2 (\lambda_2 + 2m_2 + 3\mu_2) \right) \\
 & \left. - \frac{2a_0\sigma_0}{d_0^2} \left( 2\lambda_2 + 4l_2 + \left( 1 + \frac{\alpha^2}{r^2} \right) \right. \right. \\
 & \left. \left. \times (\lambda_2 + 2m_2 + 3\mu_2) \right) \right) (\partial_x F)^2.
 \end{aligned}$$

Для отыскания  $V_2^{(1)}$  выберем анзац  $\delta_1 r (\partial_x F)^2 + \gamma_1 r^3 \partial_{xxx} F$ , а  $V_2^{(2)}$  будем отыскивать в виде

$$\left( \delta_2 r + \frac{\eta_2}{r} + \frac{\chi_2}{r^3} \right) (\partial_x F)^2 + (\gamma_2 r^3 + \beta_2 (r \ln r - r)) \partial_{xxx} F$$

где  $\delta_{1,2}, \gamma_{1,2}, \eta_{1,2}, \chi_{1,2}, \beta_{1,2}$  — неизвестные константы, для нахождения которых имеются 3 условия

$$V_2^{(1)}|_{r=\alpha} = V_2^{(2)}|_{r=\alpha}, \quad P_{4,rr}^{(1)}|_{r=\alpha} = P_{4,rr}^{(2)}|_{r=\alpha}, \quad P_{4,rr}^{(2)}|_{r=1} = 0. \tag{14}$$

Представим  $V_2^{(i)}$  в виде суперпозиции линейной и нелинейной волн  $V_{2,LIN}^{(i)} + V_{2,NL}^{(i)}$ , где  $V_{2,LIN}^{(i)}$  — линейные по  $F(x, t)$  функции, т.е. содержащие только  $\partial_{xxx} F$ , а  $V_{2,NL}^{(i)}$  — нелинейные, включают только  $(\partial_x F)^2$ . Функции  $V_{2,LIN}^{(i)}$  содержат 3 неизвестные константы:  $\gamma_1, \gamma_2$  и  $\beta_2$ , которые с помощью имеющихся условий (14) определяются однозначно. Получим

$$\begin{aligned}
 V_{2,LIN}^{(1)} = & \frac{a_2}{d_2} r^3 \partial_{xxx} F, \\
 V_{2,LIN}^{(2)} = & \frac{b_2}{d_2} r^3 \partial_{xxx} F + \frac{a_2}{d_2} r (\ln r - 1) \partial_{xxx} F, \tag{15}
 \end{aligned}$$

где

$$\begin{aligned}
 a_2 = & \frac{a_1}{4} \left( \frac{\lambda_1 - \lambda_2}{\lambda_2 + 2\mu_2} (1 - \alpha^2 - \ln \alpha) + 3 \frac{\lambda_1}{\lambda_2} (1 - \ln \alpha) + \ln \alpha \right) \\
 & - \sigma_1 \frac{\ln \alpha (3 - 2 \ln \alpha)}{2\alpha^2}, \\
 d_2 = & 2 \left( \frac{\lambda_1 - \lambda_2}{\lambda_2 + 2\mu_2} (1 - \alpha^2 - \ln \alpha) + 3 \frac{\lambda_1}{\lambda_2} (1 - \ln \alpha) + \ln \alpha \right) \\
 & + 3 \left( \frac{\mu_1 - \mu_2}{\lambda_2 + 2\mu_2} (1 - \alpha^2 - \ln \alpha) + 3 \frac{\mu_1}{\lambda_2} (1 - \ln \alpha) + \frac{\mu_2}{\lambda_2} \ln \alpha \right),
 \end{aligned}$$

$$\begin{aligned}
 b_2 = & \frac{a_1}{4} \left( \frac{\lambda_1 - \lambda_2}{\lambda_2 + 2\mu_2} (1 - \alpha^2 - \ln \alpha) \right. \\
 & + 3 \frac{\lambda_1 + 2\mu_1}{\lambda_2 + 2\mu_2} (1 - \ln \alpha) + \ln \alpha \left. \right) \\
 & - \sigma_1 \frac{\ln \alpha}{2\alpha^2} \left( \frac{\lambda_1 - \lambda_2}{\lambda_2 + 2\mu_2} (1 - \ln \alpha) \right. \\
 & \left. + 3 \frac{\lambda_1 + 2\mu_1}{\lambda_2 + 2\mu_2} (1 - \ln \alpha) + \ln \alpha \right),
 \end{aligned}$$

$$c_2 = 3\alpha^2 a_1 \sigma_0 \frac{\mu_2}{\lambda_2 + 2\mu_2} + \sigma_1 \ln \alpha \frac{2(\lambda_1 - \lambda_2) + 3(\mu_1 - \mu_2)}{\lambda_2 + 2\mu_2}.$$

В частном случае, при равенстве коэффициентов Лямэ  $\lambda_1 = \lambda_2 = \lambda$  и  $\mu_1 = \mu_2 = \mu$  у материалов слоев в (12) зануляется  $\sigma_0$ , а отношение  $a_0/d_0$  становится равным  $\nu$ . Таким образом для обоих слоев выражение для  $V_0^{(i)}$  сводится к известной гипотезе Лява. В то же время в (13) коэффициент  $\sigma_1$  становится равным 0, и для обоих слоев получится уточнение гипотезы плоских сечений, а в (15) зануляется коэффициент  $c_2$ , и оба отношения  $a_2/d_2, b_2/d_2$  сводятся к  $\nu/(2(2\nu - 3))$ . Следовательно, мы показали, что в случае равенства упругих модулей 2-го порядка полученные гипотезы (12), (13), (15) сводятся к уточненным выражениям, полученным в [10] при рассмотрении задачи об изотропном цилиндрическом стержне.

Функции  $V_{2,NL}^{(i)}$  содержат 4 константы  $\delta_1, \delta_2, \eta_2$  и  $\chi_2$  и трех имеющихся условий (14) недостаточно для их определения. Можно было бы воспользоваться условиями непрерывности  $P_{4,xx}^{(i)}$  и  $P_{4,\varphi\varphi}^{(i)}$ . Однако одновременное их использование переопределяет систему уравнений для отыскания констант, а выбор какого-либо одного из двух не очевиден. Нелинейные части выражений для  $P_{4,xx}^{(i)}$  и  $P_{4,\varphi\varphi}^{(i)}$  с учетом найденных  $U_0^{(i)}, U_2^{(i)}$  и  $V_0^{(i)}$  важны при расчетах, но громоздки, и потому вынесены в Приложение 1.

На примере задачи об изотропном цилиндрическом стержне можно убедиться в том, что в двух главных порядках малого параметра  $\varepsilon$  безразмерного уравнения Эйлера-Лагранжа не будет никакого вклада от  $V_{2,NL}^{(i)}$ . Таким образом, найденных  $V_{2,NL}^{(i)}$  достаточно для вывода уравнения модели, и разложения функций перемещений в двуслойном цилиндрическом стержне в ряд по малому параметру  $\varepsilon$  можно использовать в следующем виде:

$$U^{(1)} = F(x, t) + \varepsilon^2 \alpha_1 \frac{r^2}{2} \partial_{xx} F, \quad r \in (0; \alpha],$$

$$U^{(1)} = F(x, t) + \varepsilon^2 \left[ \left( \alpha_1 - \sigma_1 \frac{2 \ln \alpha}{\alpha^2} \right) \frac{r^2}{2} + \sigma_1 \ln r \right] \partial_{xx} F,$$

$$r \in (\alpha; 1],$$

$$V^{(1)} = f \frac{a_0}{d_0} r \partial_x F + \varepsilon^2 \left[ -\frac{a_2}{d_2} r^3 \partial_{xxx} F \right], \quad r \in (0; \alpha]$$

**Таблица 1.** Упругие модули ПС и ПММА [13], [14]

	Плотность	Коэффициенты Ляме		Модуль Юнга	Коэффициент Пуассона	Модули Мурнагана 3-го порядка		
	$\rho, \text{kg/mm}^3$	$\lambda, \text{N/m}^2, 10^{10}$	$\mu, \text{N/m}^2, 10^{10}$	$E, \text{N/m}^2, 10^{10}$	$\nu$	$l, \text{W/m}^2, 10^{10}$	$m, \text{W/m}^2, 10^{10}$	$n, \text{W/m}^2, 10^{10}$
ПС	1060	0.289 ±0.001	0.138 ±0.001	0.369 ±0.003	0.338 ±0.001	-1.89 ±0.32	-1.33 ±0.29	-1.00 ±0.14
ПММА	1160	0.39	0.186	0.498	0.339	-1.09	-0.77	-0.14

**Таблица 2.** Результаты расчетов

	Скорость линейных волн	Скорость нелинейных уединенных волн	Коэффициент при нелинейном слагаемом	Ширина солитона на половине амплитуды
	$c_0, \text{m/s}$	$v, \text{m/s}$	$\beta, \text{W/m}^2, 10^{10}$	FWHM, cm
ПС	1866.8 ±7.6	1867.4 ±7.7	-2.786 ±0.799	16.9 ±3.2
ПММА	2071	2072	-0.458	48.2
ПС + ПММА	1977	1978	-1.622	25.9

упрощаются:

$$B_0 = \alpha^2 E_1 + (1 - \alpha^2) E_2, \quad B_1 = \alpha^2 \beta_1 + (1 - \alpha^2) \beta_2$$

$$B_2 = \frac{\nu(1 - \nu)}{2} (\alpha^4 \rho_1 + (1 - \alpha^4) \rho_2),$$

$$B_3 = \frac{\nu}{2} (\alpha^4 E_1 + (1 - \alpha^4) E_2), \quad (18)$$

где  $\beta_i = 3E_i + 2l_i(1 - 2\nu)^3 + 4m_i(1 + \nu)^2(1 - 2\nu) + 6n_i\nu^2$ . В этом случае скорость распространения линейных волн  $c_0$  достаточно просто выражается через физические постоянные материалов слоев

$$c_0^2 = \frac{\alpha^2 E_1 + (1 - \alpha^2) E_2}{\alpha^2 \rho_1 + (1 - \alpha^2) \rho_2}. \quad (19)$$

$$V^{(2)} = - \left( \frac{a_0 - \sigma_0}{d_0} r + \frac{\sigma_0}{d_0} \frac{\alpha^2}{r} \right) \partial_x F + \varepsilon^2 \left[ - \left( \frac{b_2}{d_2} r^3 + \frac{c_2}{d_2} r(1 - \ln r) \right) \partial_{xxx} F \right], \quad r \in (\alpha; 1]. \quad (16)$$

Представление (16) в размерных переменных важно для расчетов в физических экспериментах и приведено в Приложении 2.

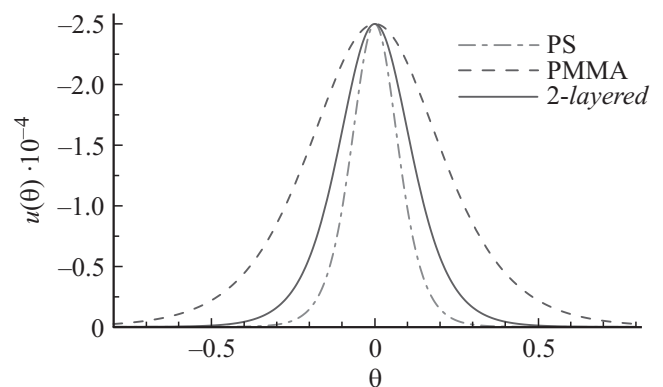
Применение принципа Гамильтона с учетом (16) после интегрирования безразмерной двумерной плотности лагранжиана  $\mathcal{L}(, , )$  по  $r \in (0; 1)$  приводит к нелинейному уравнению с двумя дисперсиями (УДЦ), описывающему распространение волн нелинейно-упругих продольных деформаций в двуслойном стержне:

$$u_{tt} - u_{xx} = \varepsilon^2 \left[ \frac{B_1}{2B_0} (u^2)_{xx} + \frac{c_0^2 B_2}{B_0} u_{xxtt} + \frac{B_3}{B_0} u_{xxxx} \right], \quad (17)$$

где  $u(x, t) = F_x(x, t)$ . В (17) „стержневая“ скорость определяется выражением  $c_0^2 = B_0/\bar{\rho}$  где  $\bar{\rho} = \alpha^2 \rho_1 + (1 - \alpha^2) \rho_2$ , а „эффективный“ модуль Юнга равен  $B_0$ . Размерный вид (17), необходимый для проверки полученных результатов в физическом эксперименте, представлен в Приложении 3, там же приведены точные, но довольно громоздкие выражения для коэффициентов  $B_i, i \in [0; 3]$ .

Особый интерес представляет частный случай равенства коэффициентов Пуассона материалов слоев  $\nu_1 = \nu_2 = \nu$ , часто возникающий в динамике нанокompозитных волноводов, в котором  $B_i, i \in [0; 3]$  заметно

Среди решений УДЦ (17), приведенного к размерному виду (см. (23) в Приложении 3), с постоянными коэффициентами в упрощенной форме (18) существует однопараметрическое решение в виде уединенной колоколообразной волны (солитона) сжатия [10], распростра-



**Рис. 2.** Профиль уединенной волны деформации сжатия, описываемой (20) (сплошная линия), которая распространяется в двуслойном цилиндрическом волноводе радиуса  $R = 5 \text{ mm}$ . Внутренний стержень из PS имеет радиус  $R_1 = 3.54 \text{ mm}$ , внешняя оболочка из PMMA. По оси абсцисс бегущая переменная  $\theta = x \pm vt$ . Для сравнения на графике также представлены профили уединенных волн деформации в однородных изотропных цилиндрических стержнях из PS (штрихпунктирная линия) и PMMA (штриховая линия), радиусы которых  $R = 5 \text{ mm}$ .

нящейся со скоростью  $v$ :

$$u(\theta) = \cosh^{-2} \left[ \theta \sqrt{\frac{A\bar{\beta}}{6\nu R^2 \left( \tilde{E} - (1-\nu) \frac{\tilde{\rho}}{\rho} \left( \frac{A\bar{\beta}}{3} + \bar{E} \right) \right)}} \right],$$

$$\theta = x \pm vt, \tag{20}$$

где  $A = 3(\bar{\rho}v^2 - \bar{E})/\bar{\beta} < 0$  — амплитуда волны,  $\bar{E} = \alpha^2 E_1 + (1 - \alpha^2)E_2$ ,  $\bar{\beta} = \alpha^2 \beta_1 + (1 - \alpha^2)\beta_2$ ,  $\tilde{E} = \alpha^4 E_1 + (1 - \alpha^4)E_2$ ,  $\tilde{\rho} = \alpha^4 \rho_1 + (1 - \alpha^4)\rho_2$ . Считая параметром амплитуду деформации, скорость солитона нетрудно выразить через упругие постоянные и плотности материалов слоев

$$v^2 = \frac{\frac{4}{3}(\alpha^2 \beta_1 + (1 - \alpha^2)\beta_2) + (\alpha^2 E_1 + (1 - \alpha^2)E_2)}{\alpha^2 \rho_1 + (1 - \alpha^2)\rho_2}, \tag{21}$$

и в силу того, что  $A\bar{\beta} > 0$ , эта скорость превосходит стержневую скорость  $c_0$ . Теперь видно, что, поскольку  $\alpha \in (0; 1)$ , то и скорость распространения линейных волн  $c_0$ , и скорость распространения солитонов  $v$ , и их ширина на половине высоты (FWHM — Full Width on Half Maximum) всегда будут лежать в промежутках между соответствующими величинами в каждом из однородных изотропных стержней, изготовленных из материала того или другого слоя.

Для построения сравнительных графиков и оценки количественных характеристик уединенных волн были взяты числовые значения модулей упругости полистирола (ПС) из [13] и органического стекла (полиметилметакрилата, ПММА) из [14], табл. 1. Значение амплитуды солитона сжатия выбрано равным  $A = -2.5 \cdot 10^{-4}$  м, близким к значению амплитуд солитонов сжатия, распространяющихся в изотропных стержнях из ПС и ПММА [15]. В табл. 2 приведены скорости  $c_0$  распространения линейных волн, скорости  $v$  нелинейных уединенных волн, значения коэффициентов  $\beta$  при нелинейном слагаемом в уравнении Эйлера–Лагранжа, и ширины солитонов на половине высоты FWHM для трех различных волноводов: цилиндрического стержня из ПС радиуса  $R = 5$  мм, такого же стержня из ПММА и двуслойного коаксиального стержня радиуса  $R = 5$  мм, внутренний стержень которого имеет радиус  $R_1 = 5/\sqrt{2} \approx 3.53$  мм и изготовлен из ПС, а внешняя оболочка — из ПММА. Соотношение между  $R$  и  $R_1$  выбрано таким, чтобы площади ПС и ПММА в сечении были одинаковыми. График (20) представлен на Рис. 2 в сравнении с профилями уединенных волн в цилиндрических стержнях из ПС и ПММА.

### Заключение

В настоящей работе исследованы объемные нелинейные продольные волны деформации в двуслойном коаксиальном цилиндрическом стержне. Разработан асимптотический метод вывода уравнений распространения

длинных нелинейно-упругих продольных волн деформации в таком волноводе, основанный на асимптотическом удовлетворении условия свободной от напряжений границы, т.е. равенстве нулю компонент тензора напряжений Пиолы–Кирхгоффа  $\mathbf{P}$ , и на неразрывности напряжений и перемещений на границе раздела слоев. Это позволило получить нелинейное УДД, имеющее частное аналитическое решение в виде уединенных нелинейных волн — объемных солитонов сжатия.

Применение разработанного метода позволило решить задачу о распространении длинных нелинейных упругих продольных волн деформации в двуслойном цилиндрическом стержне с идеальным контактом между слоями. Модель предсказывает формирование единой волны, параметры которой зависят от упругих характеристик материалов обоих слоев. Показано, что в коаксиальном стержне скорость объемного солитона деформации превышает „стержневую“ скорость линейных волн, а параметры солитона лежат между параметрами солитонов в однородных изотропных стержнях тех же размеров, изготовленных из материалов первого, либо второго слоев. Найдены зависимости амплитуды и скорости солитона от радиуса границы раздела материалов слоев, их плотности и упругих характеристик.

### Приложения

Точность вывода нелинейных уравнений и граничных условий краевой задачи напрямую связана с трудоемкими вычислениями. Даже при описанном алгоритме получения соответствующих выражений и коэффициентов уравнений проведение преобразований остается довольно тяжелой задачей, а без приведения итогов таких вычислений пришлось бы многие результаты решения просто принимать на веру. Поэтому ниже приводятся выражения, необходимые для подтверждения выводов, сделанных в основном тексте и для расчетов в реальных физических задачах.

#### 1. Нелинейные составляющие компонент $P_{4,xx}^{(i)}$ и $P_{4,\varphi\varphi}^{(i)}$ тензора Пиолы–Кирхгоффа

Нелинейные части выражений  $P_{4,xx}^{(i)}$  и  $P_{4,\varphi\varphi}^{(i)}$  для тензора Пиолы–Кирхгоффа с учетом найденных выражений для  $U_0^{(i)}$  и  $V_0^{(i)}$  и (13)

$$P_{4,xxNL}^{(1)} = \lambda_1 \left( \frac{V_{2,NL}^{(1)}}{r} + \partial_r V_{2,NL}^{(1)} \right) + \left( -2 \frac{a_0}{d_0} (\lambda_1 + 2l_1) + \frac{a_0^2}{d_0^2} (4l_1 - 2m_1 + n_1 + \lambda_1) + \left( l_1 + 2m_1 + \frac{3}{2} \lambda_1 + 3\mu_1 \right) \right) (\partial_x F)^2,$$

$$P_{4,xxNL}^{(2)} = \lambda_2 \left( \frac{V_{2,NL}^{(2)}}{r} + \partial_r V_{2,NL}^{(2)} \right) + \left( -2 \frac{a_0 - \sigma_0}{d_0} (\lambda_2 + 2l_2) + \frac{a_0^2 - 2a_0\sigma_0}{d_0^2} \right) \times (4l_2 - 2m_2 + n_2 + \lambda_2) + \left( l_2 + 2m_2 + \frac{3}{2} \lambda_2 + 3\mu_2 \right) + \frac{\sigma_0^2}{d_0^2} \left( 4l_2 - \left( 1 - \frac{\alpha^4}{r^4} \right) (2m_2 - n_2) + \left( 1 + \frac{\alpha^4}{r^4} \right) \lambda_2 \right) \times (\partial_x F)^2,$$

$$P_{4,\varphi\varphi NL}^{(1)} = 2\mu_1 \frac{V_{2,NL}^{(2)}}{r} + \lambda_1 \left( \frac{V_{2,NL}^{(1)}}{r} + \partial_r V_{2,NL}^{(1)} \right) + \left( \frac{\lambda_1 + 2l_1}{2} - \frac{a_0}{d_0} (4l_1 - 2m_1 + n_1 + \lambda_1) + \frac{a_0^2}{d_0^2} (4l_1 + 2m_1 + 3(\lambda_1 + \mu_1)) \right) (\partial_x F)^2,$$

$$P_{4,\varphi\varphi NL}^{(2)} = 2\mu_2 \frac{V_{2,NL}^{(2)}}{r} + \lambda_2 \left( \frac{V_{2,NL}^{(2)}}{r} + \partial_r V_{2,NL}^{(2)} \right) + \left( \frac{\lambda_2 + 2l_2}{2} - \frac{a_0}{d_0} (4l_2 - 2m_2 + n_2 + \lambda_2) + \frac{a_0^2}{d_0^2} (4l_2 + 2m_2 + 3(\lambda_2 + \mu_2)) \right) + \frac{\sigma_0}{d_0} \left( 4l_2 - \left( 1 + \frac{\alpha^2}{r^2} \right) (2m_2 - n_2) + \left( 1 - \frac{\alpha^2}{r^2} \right) \lambda_2 \right) \frac{\sigma_0^2}{d_0^2} \left( 2\lambda_2 + 4l_2 + \left( 1 - \frac{\alpha^2}{r^2} \right)^2 (\lambda_2 + 2m_2 + 3\mu_2) \right) - \frac{2a_0\sigma_0}{d_0^2} \left( 2\lambda_2 + 4l_2 + \left( 1 - \frac{\alpha^2}{r^2} \right) (\lambda_2 + 2m_2 + 3\mu_2) \right) \times (\partial_x F)^2,$$

**2. Степенные разложения функций перемещений в размерной форме**

В размерных переменных формулы (16) выглядят следующим образом:

$$U^{(1)} = F(x, t) + a_1 \frac{r^2}{2} \partial_{xx} F, \quad r \in (0; R_1]$$

$$U^{(2)} = F(x, t) + \left[ \left( a_1 - \sigma_1 \frac{2 \ln \alpha}{\alpha^2} \right) \frac{r^2}{2} + \sigma_1 P^2 \ln \frac{r}{R} \right] \partial_{xx} F,$$

$$r \in (R_1, R],$$

$$V^{(1)} = -\frac{a_0}{d_0} r \partial_x F + \left[ -\frac{a_2}{d_2} r^3 \partial_{xxx} F \right], \quad r \in (0, R_1],$$

$$V^{(2)} = -\left( \frac{a_0 - \sigma_0}{d_0} r + \frac{\sigma_0}{d_0} \frac{\alpha^2 R^2}{r} \right) \partial_x F + \left[ -\left( \frac{b_2}{d_2} r^3 + \frac{c_2}{d_2} r R^2 \left( 1 - \ln \frac{r}{R} \right) \right) \partial_{xxx} F \right], \quad r \in (R_1, R] \quad (22)$$

**3. Уравнение распространения длинных нелинейных упругих продольных волн деформации в двуслойном коаксиальном цилиндрическом стержне в размерных переменных**

Уравнение (17) в размерных переменных, важных для расчетов при физических экспериментах, имеет вид

$$u_{tt} - c_0^2 u_{xx} = \frac{B_1}{\bar{\rho}} (u^2)_{xx} + \frac{R^2}{\bar{\rho}} (B_2 u_{xxtt} + B_3 u_{xxxx}), \quad (23)$$

где  $c_0^2 = B_0/\bar{\rho}$ ,  $\bar{\rho} = \alpha^2 \rho_1 + (1 - \alpha^2) \rho_2$ ,  $\alpha$  — безразмерный радиус внутреннего стержня.

В общем случае коэффициенты  $B_i$ ,  $i \in [0; 3]$ , введенные в (17), (23), имеют вид

$$B_0 = \alpha^2 (\lambda_1 + 2\mu_1) + (1 - \alpha^2) (\lambda_2 + 2\mu_2) - 4 \frac{a_0}{d_0} (\alpha^2 \lambda_1 + (1 - \alpha^2) \lambda_2) + 4 \frac{a_0^2}{d_0^2} (\alpha^2 (\lambda_1 + \mu_1) + (1 - \alpha^2) (\lambda_2 + \mu_2)) + 4(1 - \alpha^2) \frac{\sigma_0}{d_0} \left[ \lambda_2 - 2 \frac{a_0}{d_0} (\lambda_2 + \mu_2) + \frac{\sigma_0}{d_0} (\lambda_2 + (1 + \alpha^2) \mu_2) \right],$$

$$B_1 = \alpha^2 (3\lambda_1 + 6\mu_1 + 2l_1 + 4m_1) + (1 - \alpha^2) (3\lambda_2 + 6\mu_2 + 2l_2 + 4m_2) - 6 \frac{a_0}{d_0} (\alpha^2 (\lambda_1 + 2l_1) + (1 - \alpha^2) (\lambda_2 + 2l_2)) + 6 \frac{a_0^2}{d_0^2} (\alpha^2 (\lambda_1 + 4l_1 - 2m_1 + n_1) + (1 - \alpha^2) (\lambda_2 + 4l_2 - 2m_2 + n_2)) - 4 \frac{a_0^3}{d_0^3} (\alpha^2 (3\lambda_1 + 3\mu_1 + 4l_1 + 2m_1) + (1 - \alpha^2) (3\lambda_2 + 3\mu_2 + 4l_2 + 2m_2)) + 6 \frac{\sigma_0}{d_0} (1 - \alpha^2) \left[ \lambda_2 + 2l_2 - 2 \frac{a_0}{d_0} (\lambda_2 + 4l_2 - 2m_2 + n_2) + 2 \frac{a_0^2}{d_0^2} (3\lambda_2 + 3\mu_2 + 4l_2 + 2m_2) \right] + 6 \frac{\sigma_0^2}{d_0^2} (1 - \alpha^2) \left[ (1 + \alpha^2) \lambda_2 + 4l_2 + (1 - \alpha^2) (-2m_2 + n_2) - 2 \frac{a_0}{d_0} ((\alpha^2 + 3) \lambda_2 + 4l_2 + (1 + \alpha^2) (3\mu_2 + 2m_2)) \right] + 4 \frac{\sigma_0^3}{d_0^3} (1 - \alpha^2) [3(1 + \alpha^2) \lambda_2 + 3(1 + 3\alpha^2) \mu_2 + 4l_2 + 2(1 + 3\alpha^2) m_2],$$

$$\begin{aligned}
B_2 &= \left( \frac{a_0^2}{2d_0^2} - \frac{a_1}{2} \right) (\alpha^4 \rho_1 + (1 - \alpha^4) \rho_2) \\
&\quad - \frac{a_0 \sigma_0}{d_0^2} \rho_2 (1 - \alpha^2)^2 \\
&\quad + \frac{\sigma_0^2}{2d_0^2} \rho_2 [(1 - \alpha^2)(1 - 3\alpha^2) - 4\alpha^4 \ln \alpha] \\
&\quad + \sigma_1 \rho_2 \left[ 1 - \alpha^2 + \frac{1 + \alpha^4}{\alpha^2} \ln \alpha \right], \\
B_3 &= \left( 1 - \frac{2a_0}{d_0} \right) \left( \frac{\alpha_1}{2} (\alpha^4 \lambda_1 + (1 - \alpha^4) \lambda_2) - \frac{4}{d_2} (\alpha^4 a_2 \lambda_1 \right. \\
&\quad \left. + (1 - \alpha^4) b_2 \lambda_2) \right) + \left( a_1 \left( 1 + \frac{a_0}{d_0} \right) - \frac{a_1^2}{2} - \frac{a_0^2}{2d_0^2} \right) \\
&\quad \times (\alpha^4 \mu_1 + (1 - \alpha^4) \mu_2) + \frac{8a_0}{d_0 d_2} (\alpha^4 a_2 \mu_1 + (1 - \alpha^4) b_2 \mu_2) \\
&\quad + \frac{\sigma_0}{d_0} (1 - \alpha^4) \left[ (1 + \alpha^2) \left( a_1 - \frac{8b_2}{d_2} \right) \lambda_2 \right. \\
&\quad \left. - \left( 8(1 + 2\alpha^2) \frac{b_2}{d_2} + (1 - \alpha^2) \left( a_1 - \frac{a_0}{d_0} \right) \right) \mu_2 \right] \\
&\quad + \frac{\sigma_1}{d_0} \left[ \left( 1 - \alpha^2 + \frac{1 + \alpha^4}{\alpha^2} \ln \alpha \right) (2a_0 - d_0) \lambda_2 \right. \\
&\quad \left. + 2 \left( 1 - \alpha^2 - \frac{1 - \alpha^4}{\alpha^2} \ln \alpha \right) (a_0 - (1 + a_1) d_0) \mu_2 \right. \\
&\quad \left. - 4\mu_2 d_0 \frac{\ln \alpha}{\alpha^2} \right] - \frac{8\sigma_0 c_2}{d_0 d_2} [(1 - \alpha^2 + \alpha^2 \ln \alpha) \lambda_2 \\
&\quad + (1 - \alpha^2 + 2\alpha^2 \ln \alpha) \mu_2] - \frac{2\sigma_0 \sigma_1}{d_0} \left[ \left( 1 - \alpha^2 \right. \right. \\
&\quad \left. \left. + \frac{1 + \alpha^4}{\alpha^2} \ln \alpha \right) \lambda_2 + \left( 1 - \alpha^2 - \frac{1 - 2\alpha^2 - \alpha^4}{\alpha^2} \ln \alpha \right) \mu_2 \right] \\
&\quad - \frac{\sigma_0^2}{2d_0^2} (1 - 4\alpha^2) + 3\alpha^4 - 4\alpha^4 \ln \alpha \mu_2 \\
&\quad - \sigma_1^2 \left( 2 - \frac{4}{\alpha^2} - \left( 2 - \frac{2}{\alpha^4} \right) \ln \alpha \right) \mu_2
\end{aligned}$$

- [15] *Sertakov I., Engelbrecht J., Janno J.* // Int. J. Solids Struct. Vol. 49. 2014. P. 3381–3387.
- [6] *Khusnutdinova K.R., Samsonov A.M.* // Phys. Rev. E. 2008. Vol. 7. P. 066603.
- [7] *Khusnutdinova K.R., Tranter M.R.* // Proc. R. Soc. A. 2015. Vol. 471. P. 20150584.
- [8] *Moulana M., Nariboli G.A.* // Acta Mech. 1976. Vol. 24. P. 13–24.
- [9] *Nariboli G.A.* // ZAMM. 1969. Vol. 49. P. 525–531.
- [10] *Samsonov A.M.* Strain solitons in solids and how to construct them. Chapman & Hall/CRC, 2001. 248 p.
- [11] *Porubov A.V., Andrianov I.V., Danishevskyy V.V.* // Int. J. Solids Struct. 2012. Vol. 49. P. 3381–3387.
- [12] *Murnaghan F.D.* Finite deformation of an elastic solid. Chapman & Hall, 1951. 140 p.
- [13] *Hughes D.S., Kelly J.L.* // Phys. Rev. 1953. Vol. 92. N 5. P. 1145–1149.
- [14] *Semenova I.V., Dreiden G.V., Samsonov A.M.* Dynamic Behavior of Materials, Vol. 1: Proc. 2010 Annual Conference on Experimental and Applied Mechanics. / Ed. by T. Proulx. N.Y.: Springer, 2011. P. 261–267.
- [15] *Samsonov A.M., Semenova I.V., Belashov A.V.* // Wave Motion. 2016. 10.1016/j.wavemoti.2016.06.006.

## Список литературы

- [1] *Samsonov A.M., Dreiden G.V., Semenova I.V.* // Proc. Inst. Mech. Eng. Part C. J. Mech. Engng. Sci. 2008. Vol. 22. N 10. P1975–1980.
- [2] *Dreiden G.V., Khusnutdinova K.R., Samsonov A.M., Semenova I.V.* // J. Appl. Phys. 2008. Vol. 104. N 8. P. 086106.
- [3] *Dreiden G.V., Khusnutdinova K.R., Samsonov A.M., Semenova I.V.* // J. Appl. Phys. 2010. Vol. 107. N 3. P. 034909.
- [4] *Dreiden G.V., Khusnutdinova K.R., Samsonov A.M., Semenova I.V.* // J. Appl. Phys. 2012. Vol. 112. N 6. P. 063516.